

1/19

Fig. 1

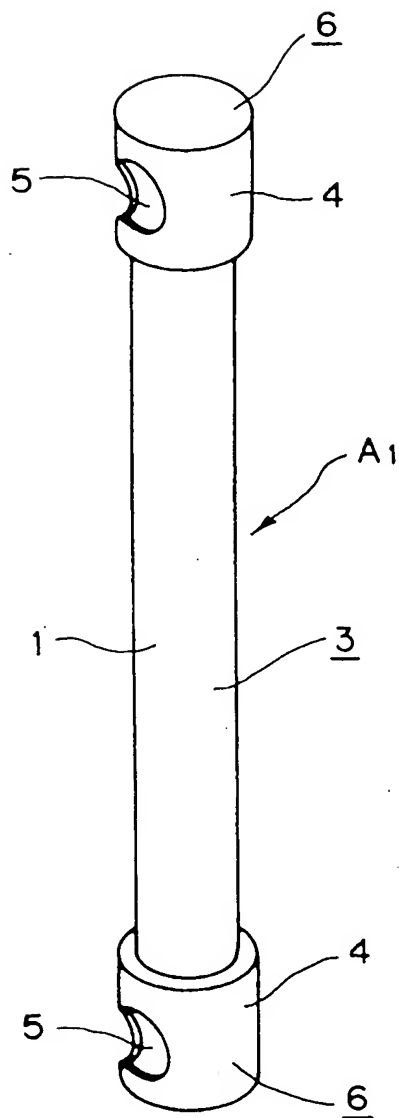
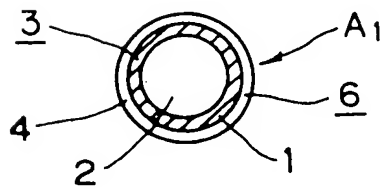


Fig. 2



2/19

Fig. 3

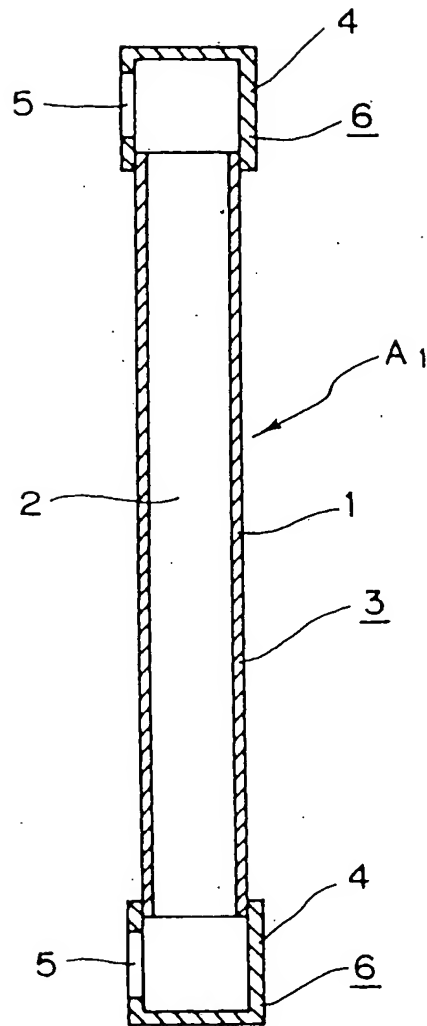


Fig. 4

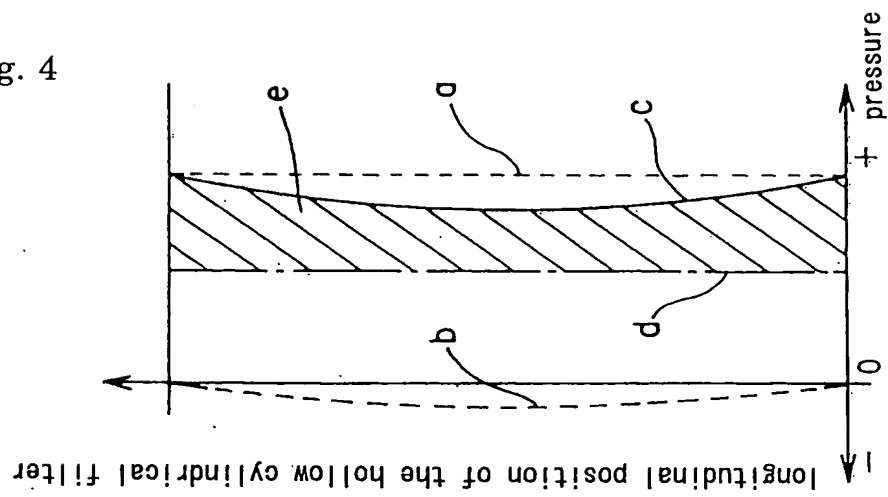


Fig. 5

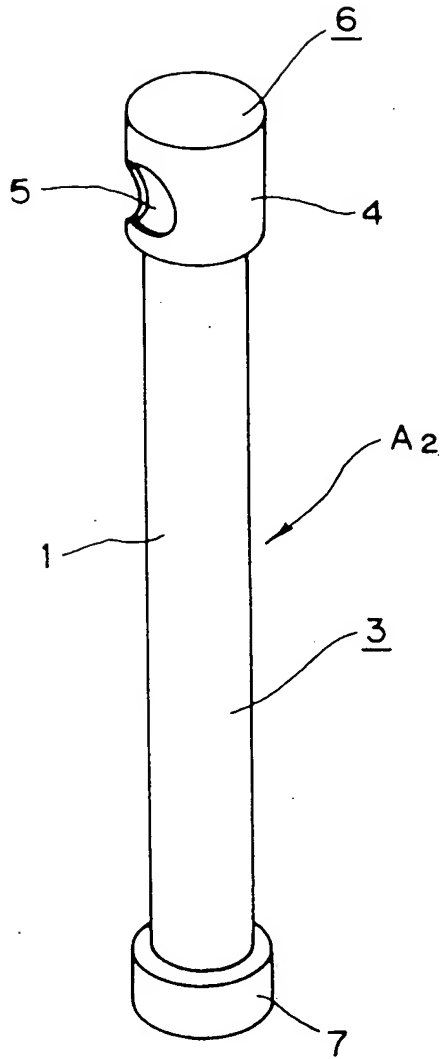
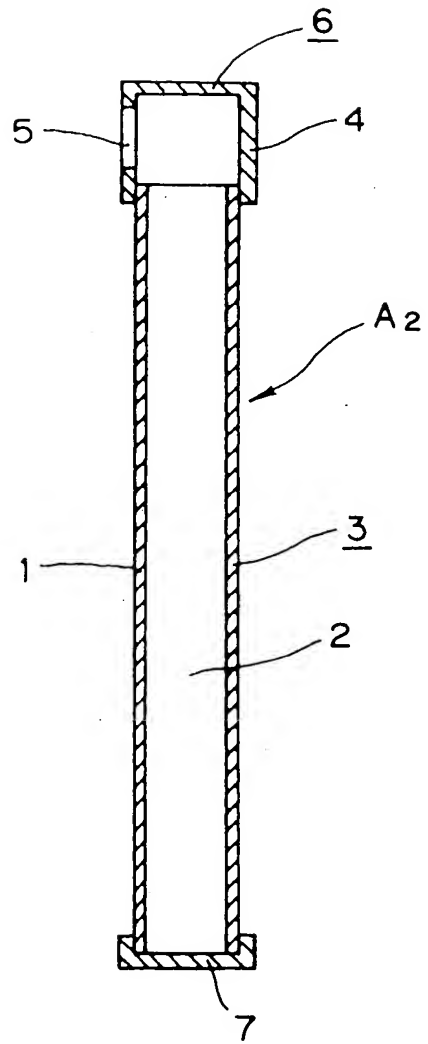


Fig. 6



4/19

Fig. 7

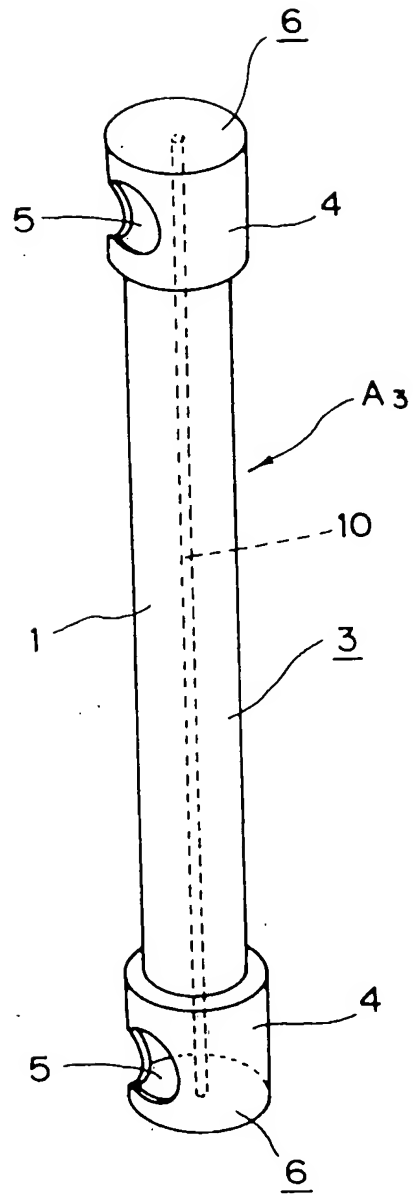
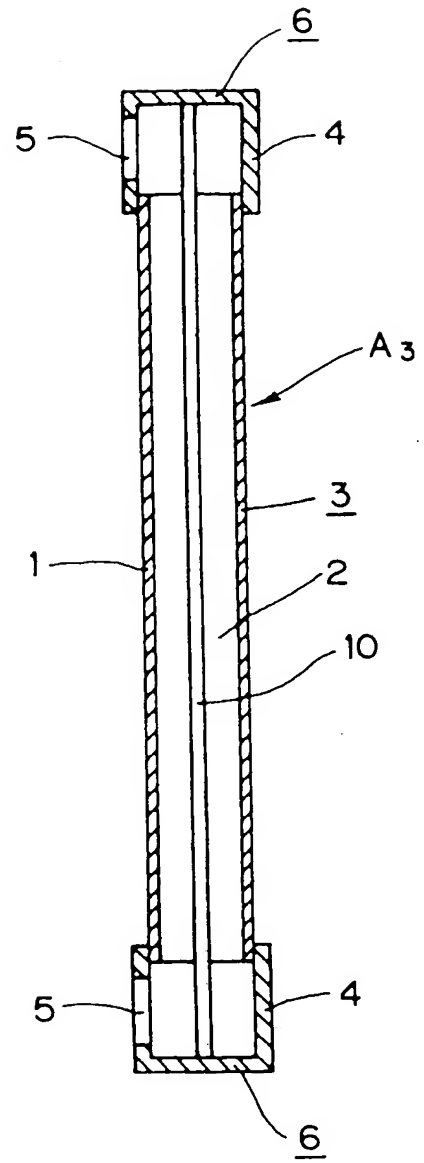


Fig. 8



5/19

Fig. 9

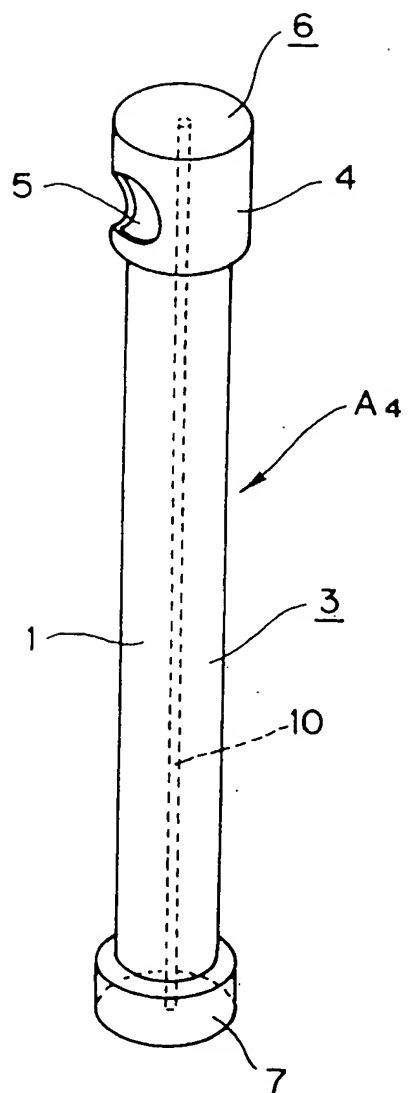


Fig. 10

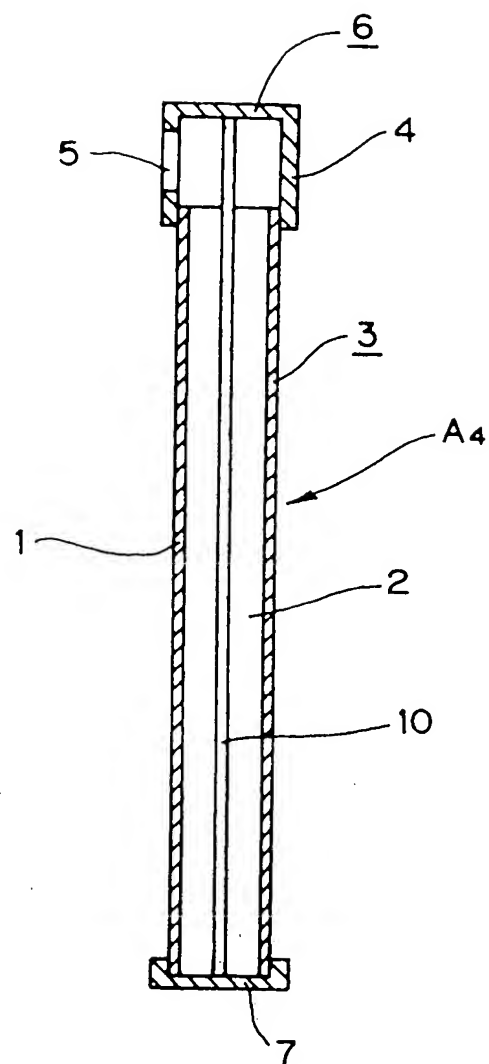
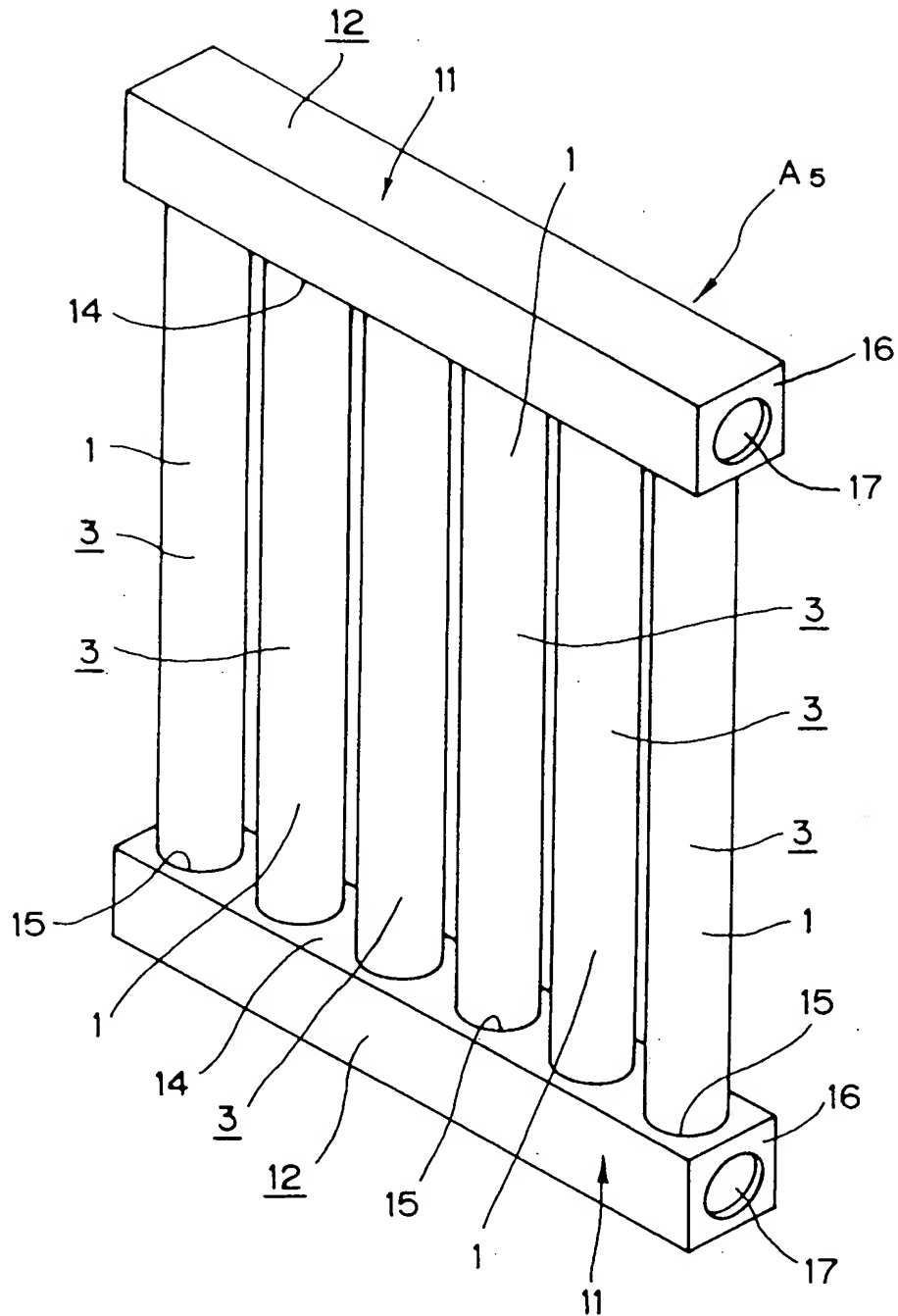
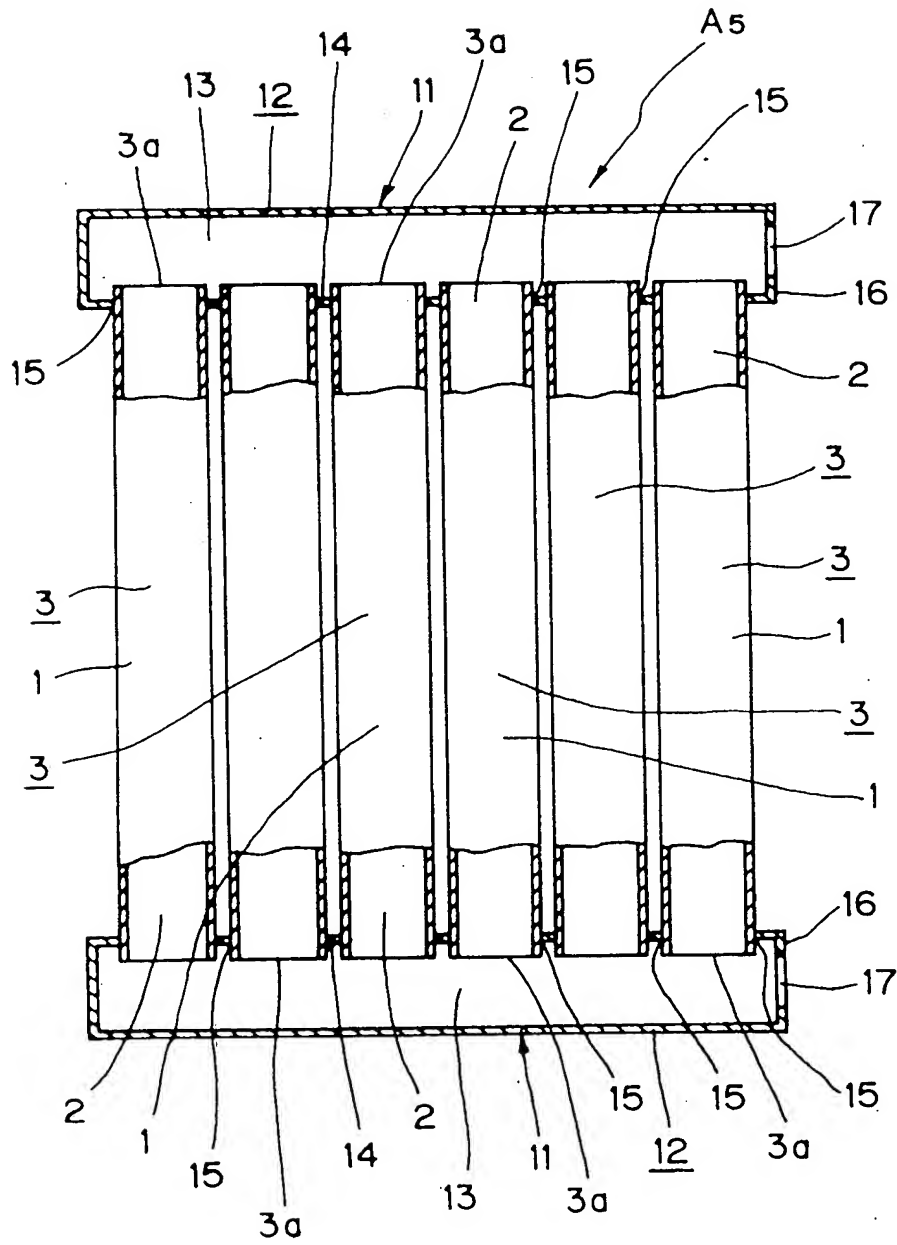


Fig. 11



7/19

Fig. 12



8/19

Fig. 13

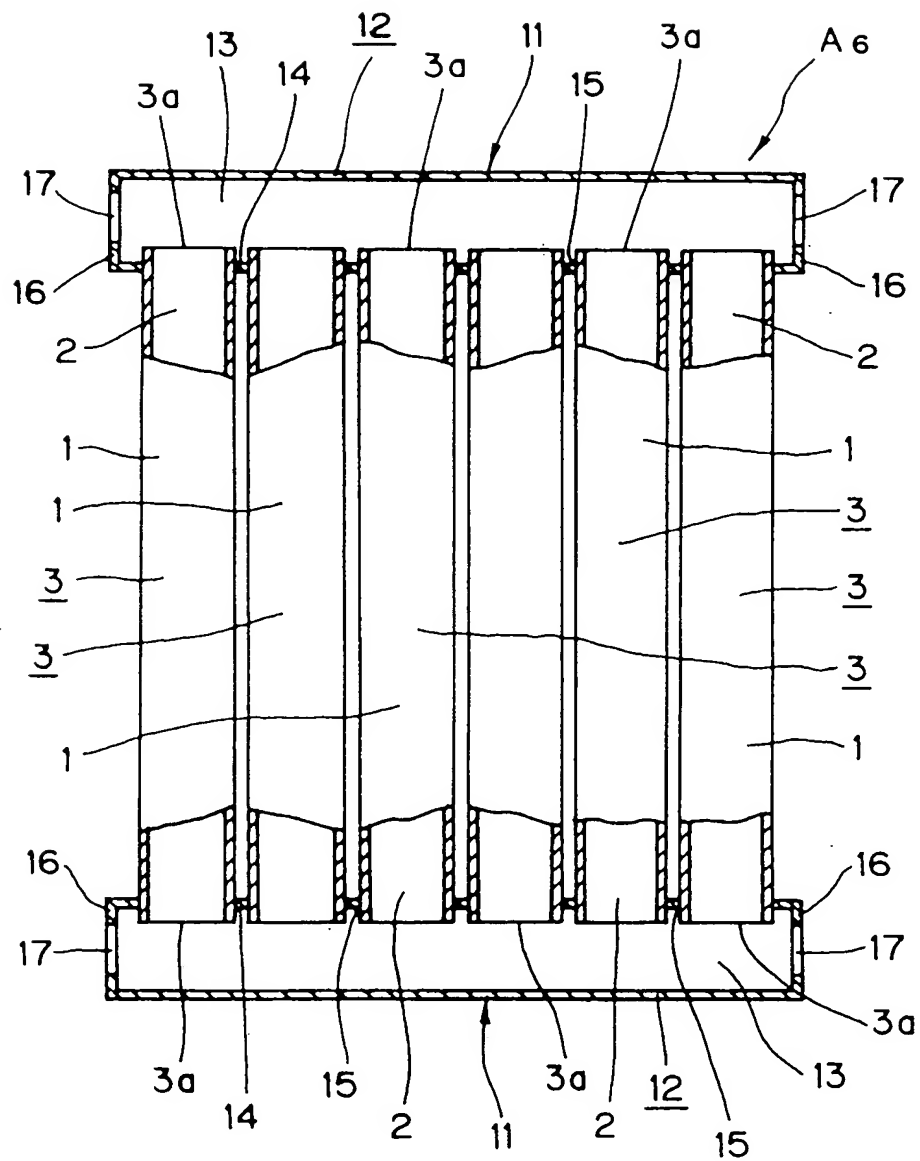
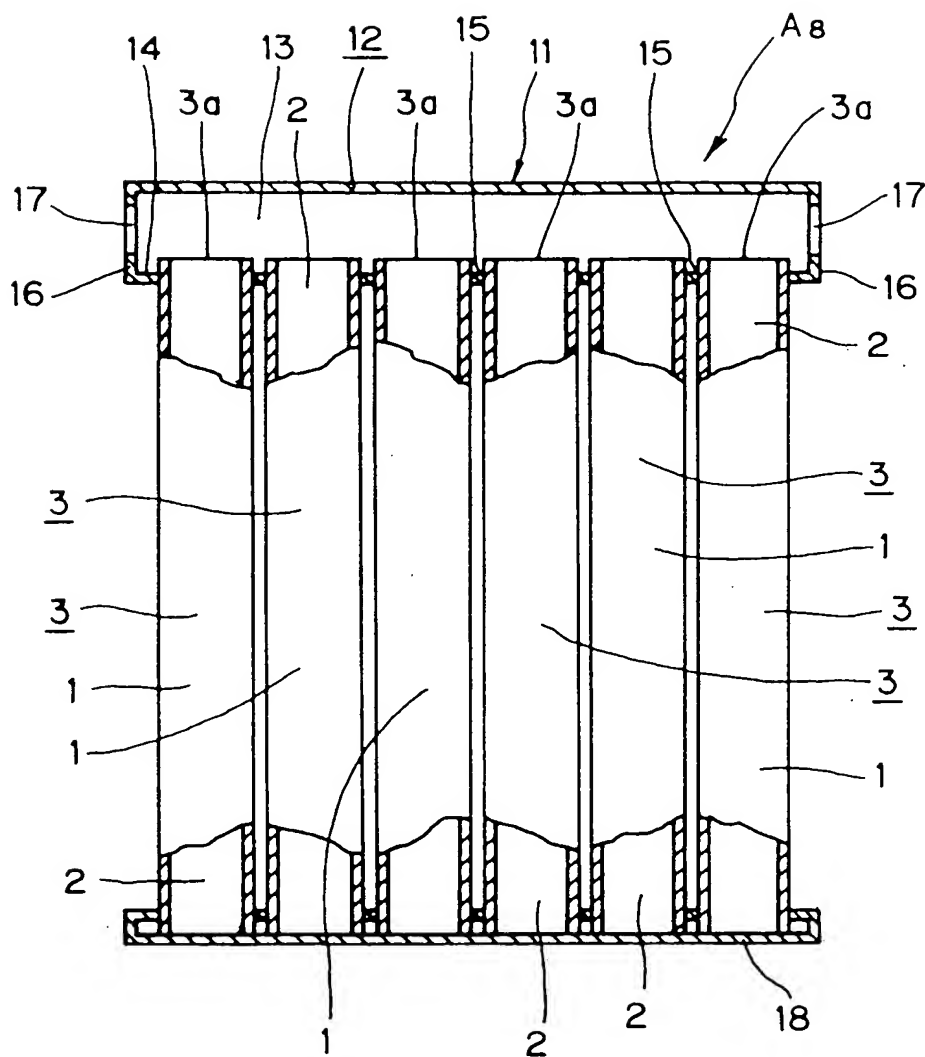






Fig. 15



11/19

Fig. 16

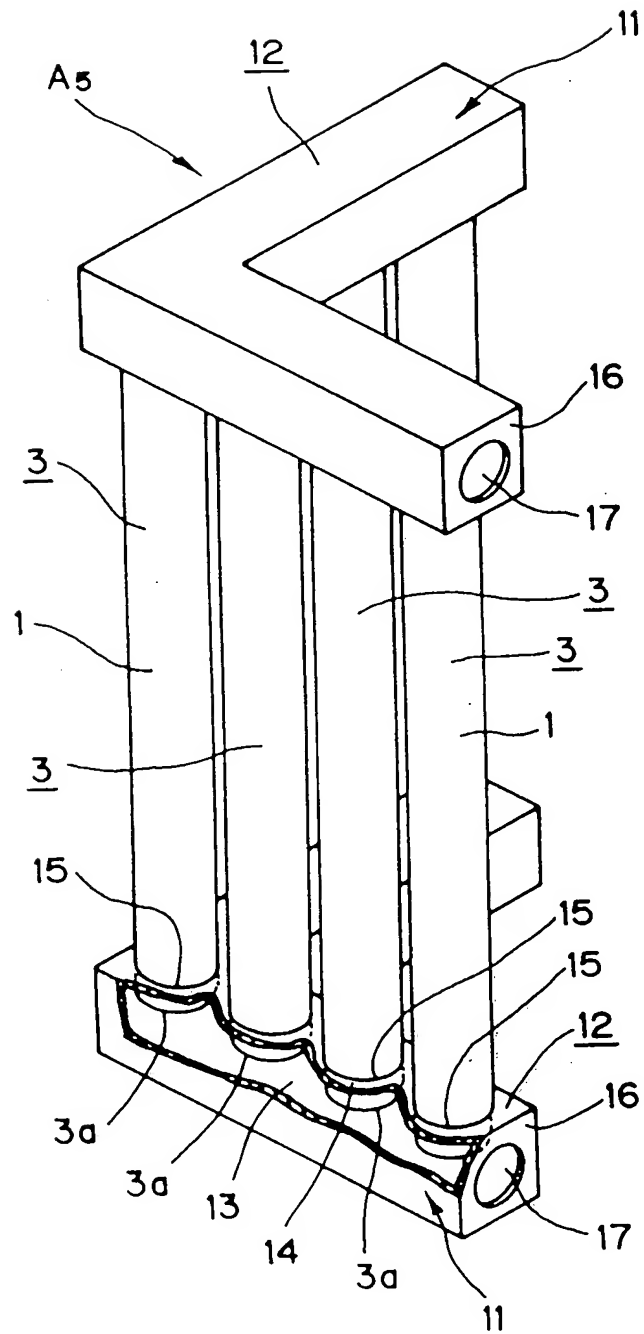




Fig. 18

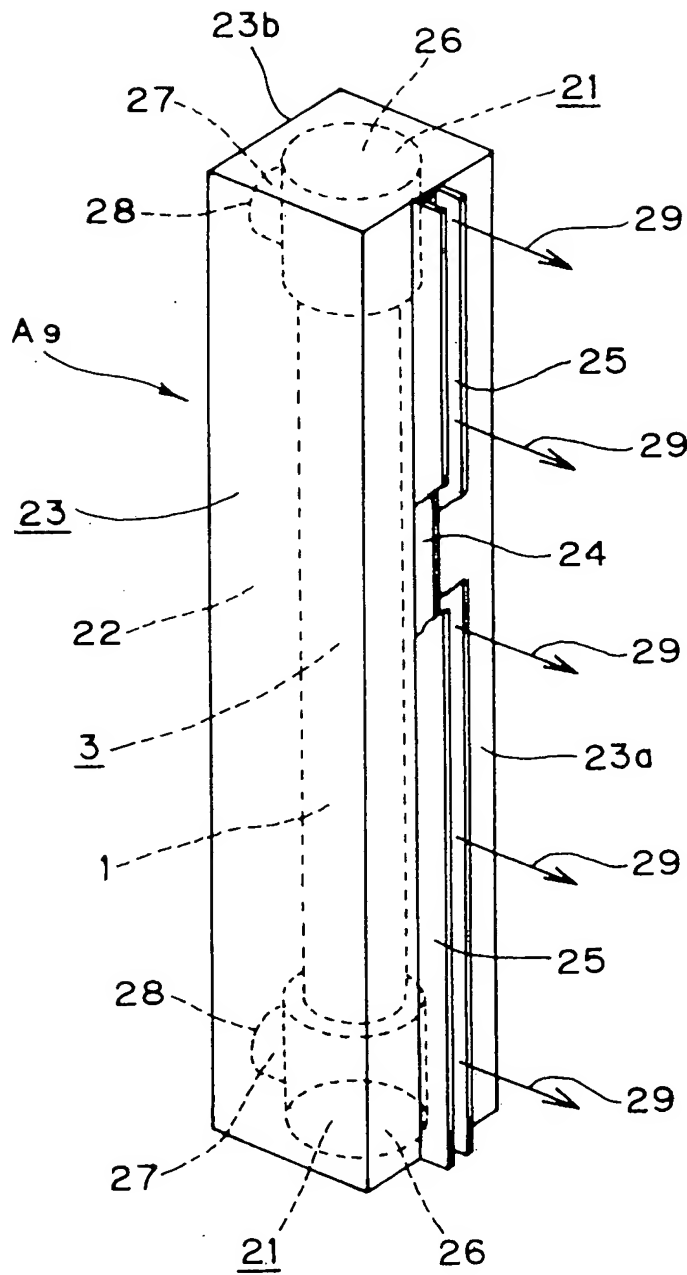
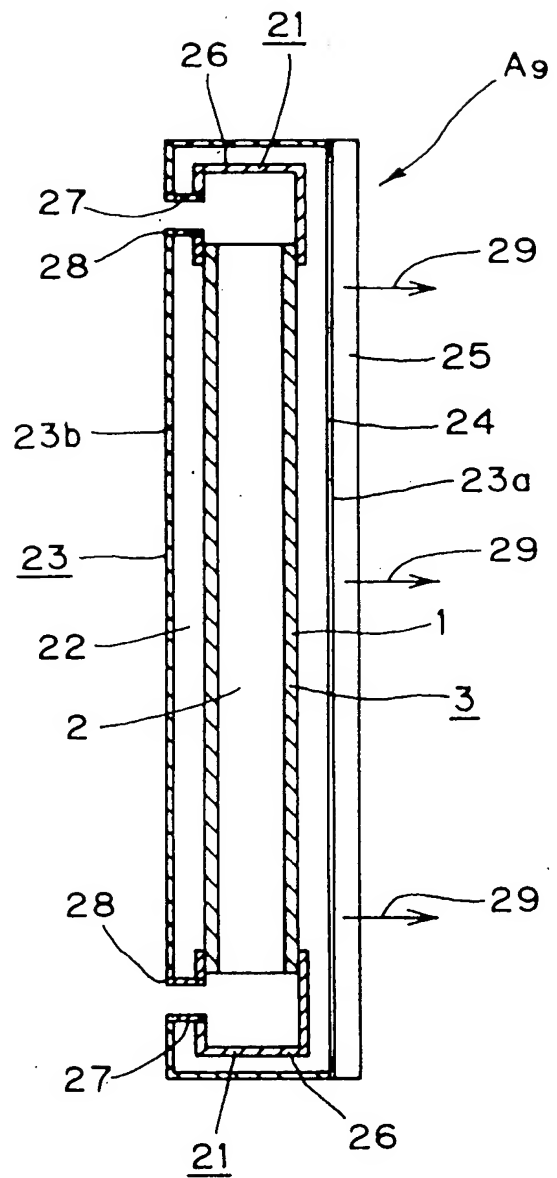


Fig. 19



14/19

Fig. 20

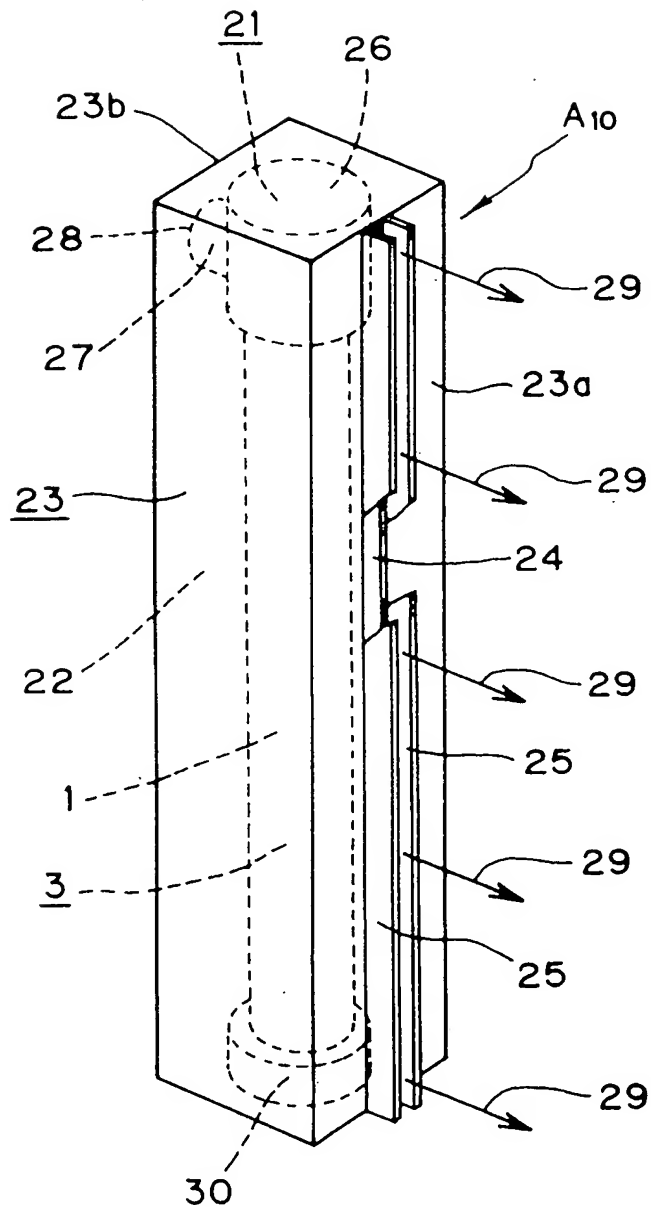


Fig. 21

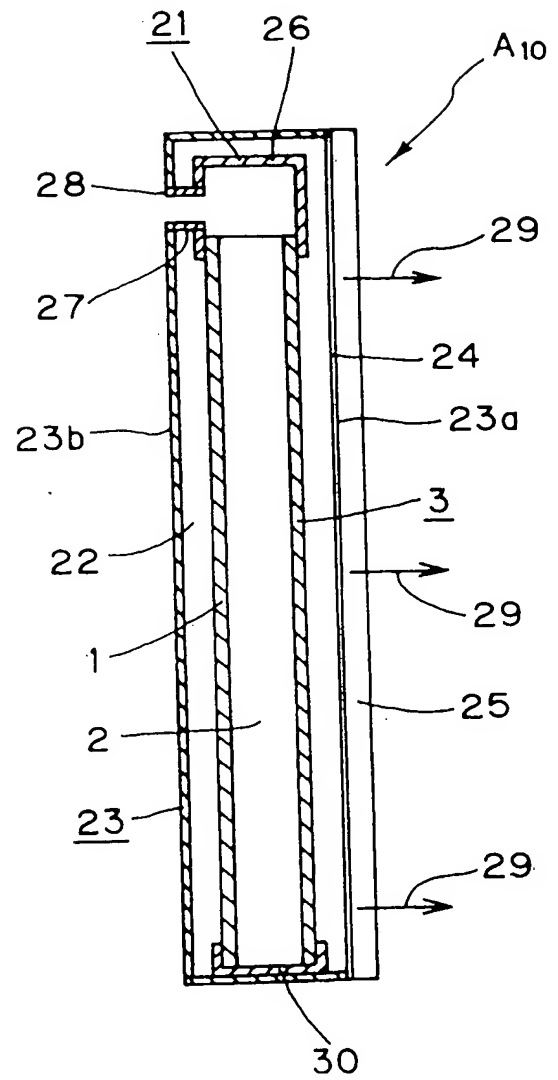


Fig. 22

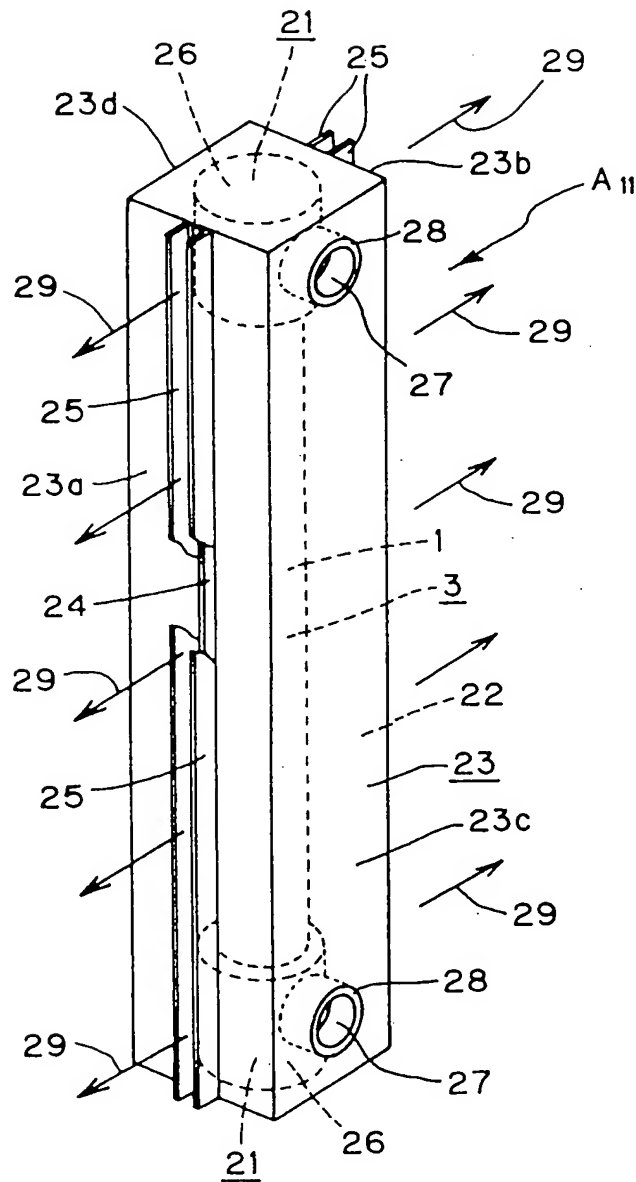
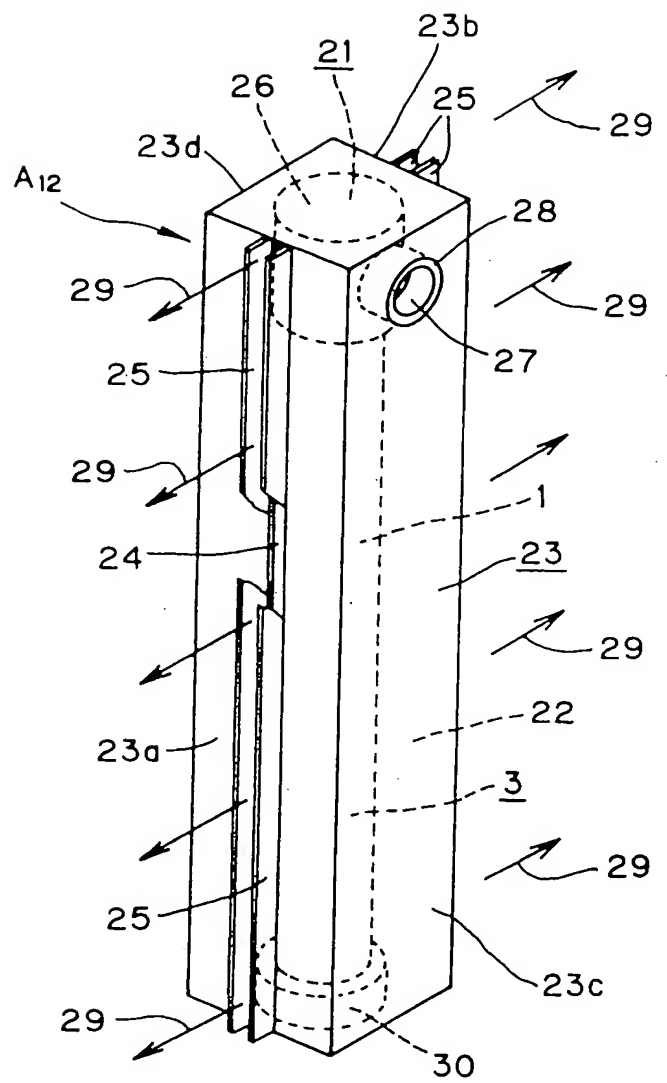


Fig. 23







17/19

Fig. 26

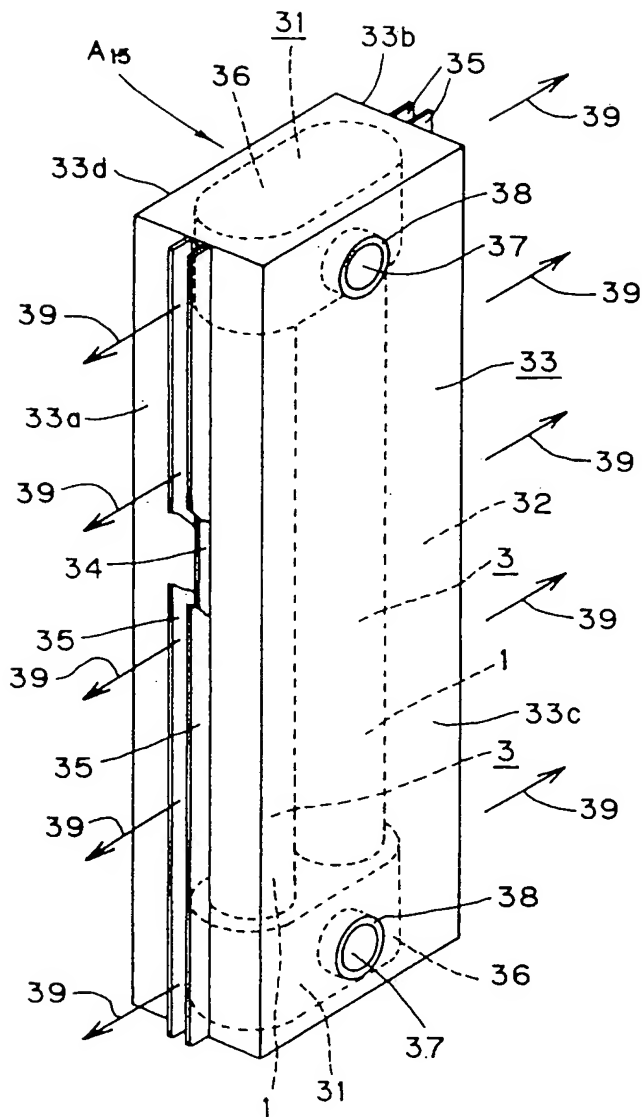


Fig. 27

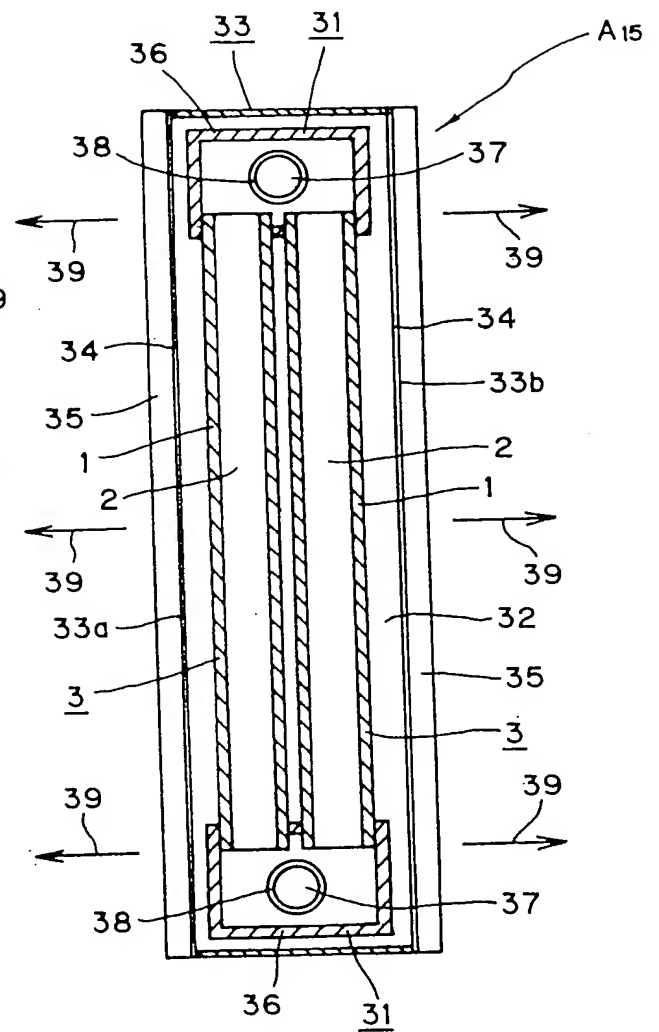


Fig. 28

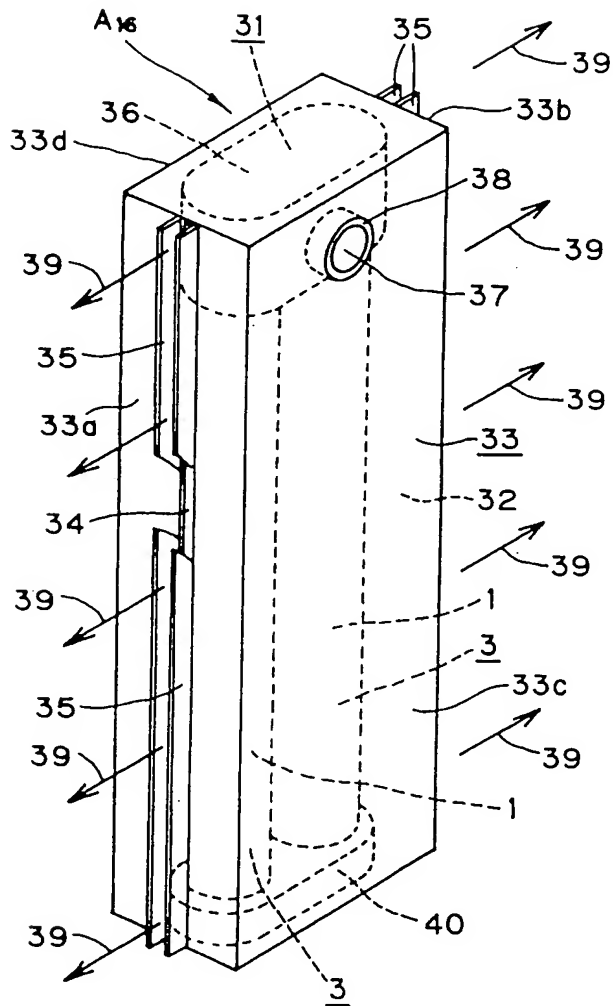


Fig. 29

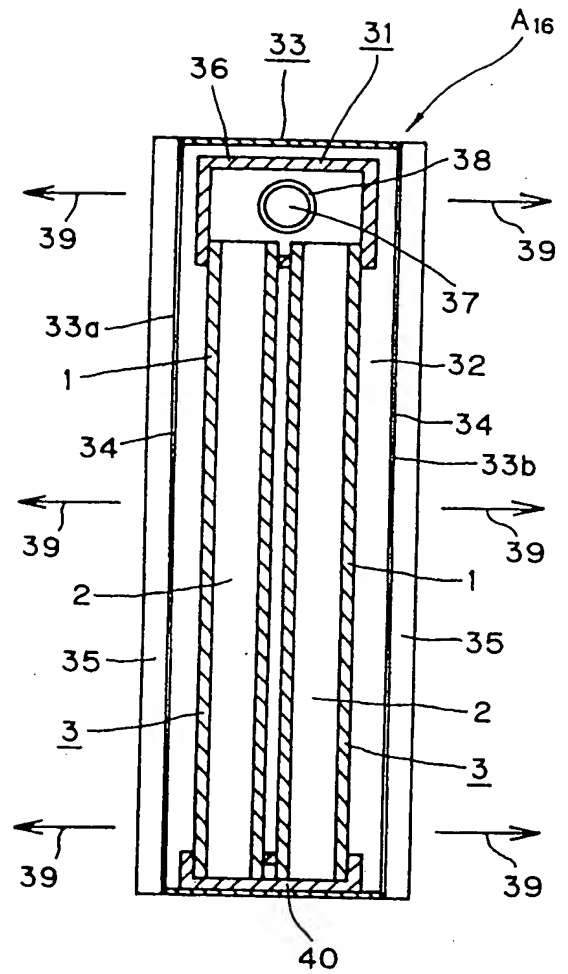


Fig. 30

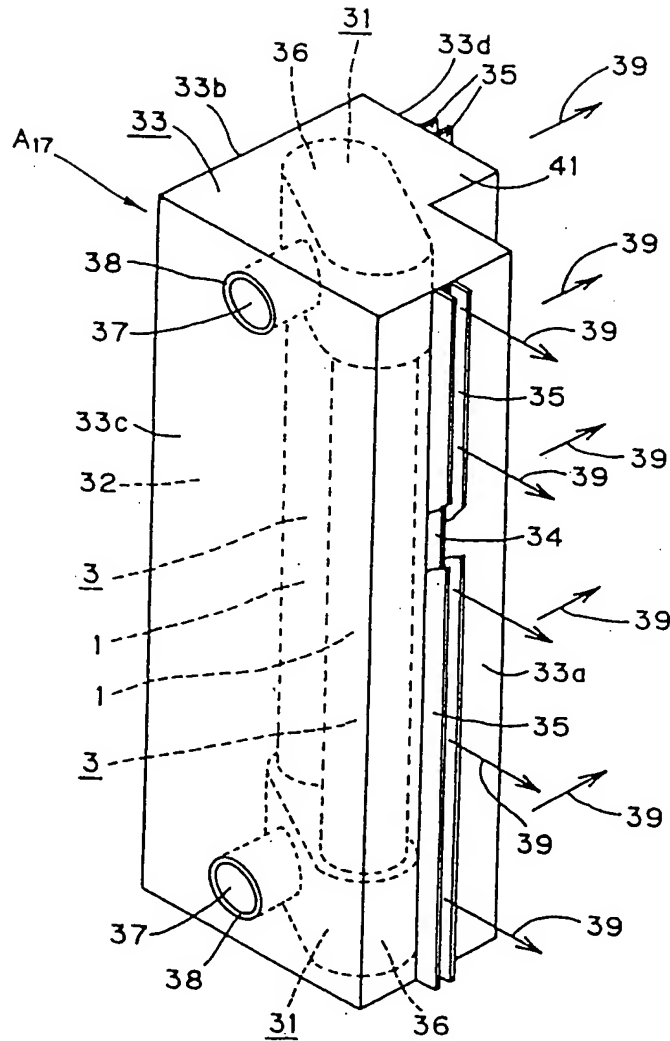


Fig. 31

